

О.Г. Миколайчук<sup>1</sup>, М.В. Мороз<sup>1</sup>, В.Ф. Орленко<sup>2</sup>, Д.І. Олексин<sup>2</sup>, В.М. Мороз<sup>2</sup>

## **T-x** діаграма стану в областях формування скла системи **Ag-Ge-S**

<sup>1</sup> Львівський національний університет ім. Івана Франка, вул. Кирила і Мефодія 8а, Львів,  
79005, Україна, E-mail: [riv018@i.ua](mailto:riv018@i.ua)

<sup>2</sup> Національний університет водного господарства та природокористування, вул. Соборна 11, м. Рівне, 33000, Україна

Досліджено рівноважний *T-x* простір сплавів системи Ag-Ge-S в областях формування скла. Прогнозується поділ області склоутворення в ділянці Ag<sub>2</sub>S-GeS-GeS<sub>2</sub> на три частини за ознакою відмінностей у структурі скла.

**Ключові слова:** діаграма стану, склоподібний стан.

Стаття постуила до редакції 07.03.2008; прийнята до друку 15.09.2008.

### **Вступ**

Структурно-невпорядковані сплави системи Ag-Ge-S є важливим матеріалом для практичного використання. Тонкі аморфні плівки розрізу Ag<sub>x</sub>(Ge<sub>0,3</sub>S<sub>0,7</sub>)<sub>100-x</sub> із вмістом срібла 55 ÷ 65 ат. % оцінені перспективними для оптичного запису та збереження інформації [1,2]. Більш широкий спектр фізичних властивостей та область використання аморфних плівок системи розглянуто в [3]. Масивне скло складів частини концентраційного простору Ag<sub>2</sub>S-GeS-GeS<sub>2</sub> (область склоутворень (I) [4,5]) по значеннях питомої електропровідності та чисел переносу катіонів срібла придатне для використання в ролі іоноселективних мембран в малогабаритних джерелах живлення [6,7]. Встановлені в [8-10] параметри температурно-частотної залежності електропровідності масивного скла складів розрізу xAg<sub>2</sub>S-(1-x)GeS<sub>2</sub> для x=(0,3÷0,5) (область склоутворень (II)) вказують на можливість його використання в пристроях ЕОМ. Структура скла областей (I) та (II) вивчалась в [10-15].

Для одержання скла конкретного складу важливою є інформація про структуру рівноважного *T-x* простору в областях склоутворень. По системі Ag-Ge-S вона є неповною та суперечливою. Зокрема, в роботах [16-20] *T-x* простір системи вивчався вздовж розрізу Ag<sub>2</sub>S-GeS<sub>2</sub>, який характеризується як квазібінарний. Ізотермічний переріз системи при 830 К проведений в [21]. Структура *T-x* простору в частині складів Ag<sub>2</sub>S-GeS<sub>2</sub>-S описана в [22], а для всіх складів концентраційного трикутника системи в [23]. Роботи [16-23] добре узгоджуються по параметрах сполуки Ag<sub>8</sub>GeS<sub>6</sub> в *T-x* просторі, проте, суттєво різняться інформацією про склади інших сполук, їх температурним інтервалом існування. Так,

сполука Ag<sub>2</sub>GeS<sub>3</sub> характеризується в [19] як нестійка при температурах більших за 800 К. Її твердофазний розпад вище 593 К встановлено в [23]. Проте, в роботі [20] плавлення Ag<sub>2</sub>GeS<sub>3</sub> знайдено конгруентним, при 921 К, з температурним перетворенням при 579 К. Також встановлено утворення сполуки Ag<sub>4</sub>GeS<sub>4</sub> при 1013 К по схемі взаємодії розплаву з Ag<sub>8</sub>GeS<sub>6</sub>. Інформація про утворення на розрізі Ag<sub>2</sub>S-GeS<sub>2</sub> сполуки Ag<sub>10</sub>Ge<sub>3</sub>S<sub>11</sub>, близької за складом до Ag<sub>4</sub>GeS<sub>4</sub>, міститься в [2].

Розріз Ag-GeS<sub>2</sub> в [23] подано квазібінарним, з двома проміжними сполуками Ag<sub>3</sub>GeS<sub>2</sub> та AgGe<sub>2</sub>S<sub>4</sub>. Ag<sub>3</sub>GeS<sub>2</sub> утворюється при 698 К по перетектичній схемі взаємодії розплаву та срібла. AgGe<sub>2</sub>S<sub>4</sub> плавиться конгруентно при 863 К. Квазібінарними названі також розрізи Ag-Ag<sub>8</sub>GeS<sub>6</sub>, Ag<sub>8</sub>GeS<sub>6</sub>-S, Ag<sub>8</sub>GeS<sub>6</sub>-AgGe<sub>2</sub>S<sub>4</sub> та AgGe<sub>2</sub>S<sub>4</sub>-Ge. Це єдина робота де приводиться проекція поверхні ліквідусу на площину концентраційного трикутника системи Ag-Ge-S.

В нашій роботі наводяться результати експериментального вивчення структури рівноважного *T-x* простору в областях склоутворень (I) та (II). Проведено співставлення концентраційного простору цих областей з положенням структурних елементів проекції поверхні ліквідусу на ньому.

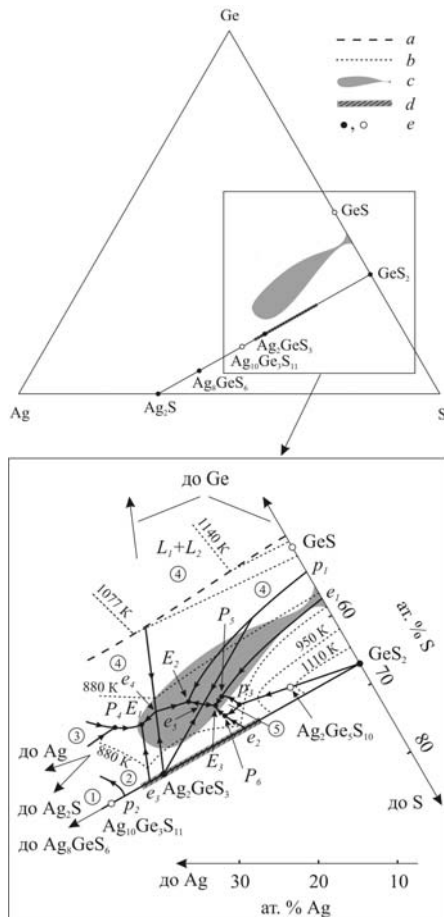
### **I. Технологічна сторона експерименту**

Наважки для термічних і рентгенофазових досліджень виготовляли із розрахованої кількості срібла, германію та попередньо синтезованого матеріалу подвійних та потрійних сполук, взятих у порошкоподібному виді. Ретельно перемішані елементи та сполуки піддавали операціям

твердофазного синтезу та подальшого гомогенізуючого відпалу при температурах 650 ÷ 800 К протягом ~ 250 годин у вакуумованих до тиску ~1 Па кварцевих ампулах. За цих умов рівноважний стан в сплавах досягався після проведення 3 ÷ 5 операцій проміжного перетирання матеріалу. Структура T-x простору досліджувалась диференціально-термічним, рентгенофазовим та мікроструктурним методами аналізу. Маса сплавів для термічних досліджень складала 0,5 ÷ 1 г, швидкість їх нагріву (охолодження) – 5 ÷ 7 К/хв. Вміст домішок у досліджуваних матеріалах не перевищував 10-2%. Похибка у визначенні температур структурних змін сплавів складала ± 5 К.

## II. Результати та обговорення

Експериментальні роботи проведені із сплавами складів частини концентраційного трикутника

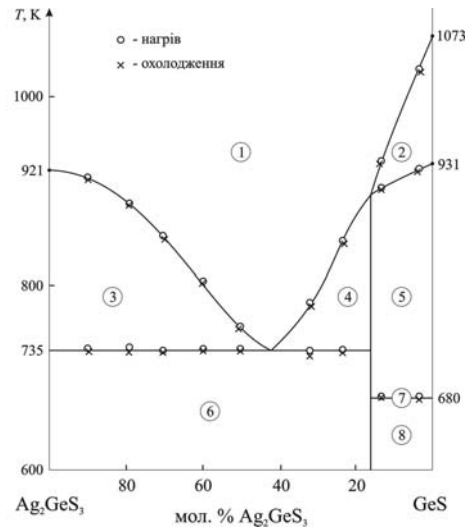


**Рис. 1.** Структурні елементи поверхні ліквідусу в областях формування скла системи Ag–Ge–S.

*Позначення:*

*a* – межа області розшарування сплавів в рідкій фазі, *b* – ізотерми поверхні ліквідусу, *c* – область склоутворень (I), *d* – область склоутворень (II), *e* – конгруентне та інконгруентне плавлення сполук.

1 – поле виділення сполуки  $Ag_8GeS_6$ , 2 – поле виділення сполуки  $Ag_{10}Ge_3S_{11}$ , 3 – поле виділення срібла, 4 – поле виділення германію, 5 – поле виділення сполуки  $Ag_2Ge_5S_{10}$ .



**Рис. 2.** Політермічний розріз  $Ag_2GeS_3$ –GeS.

*Позначення:*

1 – L, 2 – L + Ge, 3 – L +  $Ag_2GeS_3$ , 4 – L + GeS, 5 – L + Ge + GeS, 6 –  $Ag_2GeS_3$  + GeS, 7 – L ↔  $Ag_2GeS_3$  + GeS + Ge, 8 –  $Ag_2GeS_3$  + GeS + Ge.

системи Ag-Ge-S, обмеженої ізоконцентратою германію значенням ~ 55 ат. %, розрізами  $Ag_{10}Ge_3S_{11}$ -Ge, Ge-S та  $Ag_2S$ -GeS<sub>2</sub>. Результати подаються у вигляді текстового опису фазових рівноваг, T-x діаграм стану політермічних розрізів  $Ag_2GeS_3$ -GeS та Ag-GeS<sub>2</sub> в частині 50 ÷ 100 мол. % GeS<sub>2</sub>, проекції поверхні ліквідусу досліджуваної частини T-x простору системи Ag-Ge-S на площину концентраційного трикутника, таблиці безваріантних процесів на поверхні ліквідусу.

По T-x діаграмі стану розрізу  $Ag_2S$ -GeS<sub>2</sub>, в частині 0 ÷ 65 мол. %  $Ag_2S$ , наші результати, в основному, співпадають з даними [20] з тією різницею, що при температурі 1014 К утворюється сполука складу  $Ag_{10}Ge_3S_{11}$  а не  $Ag_4GeS_4$ . На це вказує побудова Таммана для теплових ефектів в сплавах розрізу від поліморфного перетворення в сполуці  $Ag_8GeS_6$ .

На рис. 1 зображена проекція поверхні ліквідусу досліджуваної області сплавів на площину концентраційного трикутника системи Ag-Ge-S. Вона містить поля виділення срібла, германію, сполук GeS, GeS<sub>2</sub>,  $Ag_8GeS_6$ ,  $Ag_{10}Ge_3S_{11}$ ,  $Ag_2GeS_3$ ,  $Ag_2Ge_5S_{10}$ , сукупність межових ліній та ліній двофазної кристалізації сплавів, 14 точок безваріантних процесів, 8 з яких є трифазними, а ще 6 – чотирифазними. Серед різноманіття названих структурних елементів поверхні ліквідусу необхідно виділити, як особливість, існування трьох точок потрійних евтектик  $E_1$ ,  $E_2$  та  $E_3$ , оскільки досліджувана ділянка концентраційного простору не перетинається квазібінарними розрізами. Розріз  $Ag_2GeS_3$ -Ge не є квазібінарним, оскільки напрям коннод області розшарування сплавів в полі виділення германію не співпадає з напрямком розрізу. Проте, частина сплавів цього розрізу кристалізується по евтектичній схемі, наслідком чого є чотирифазні процеси в точках  $E_1$  та  $E_2$ .  $Ag_2GeS_3$ -

GeS (рис. 2) є політермічним розрізом системи по причині інконгруентного типу плавлення GeS. Цей розріз має ту особливість, що його перетинає межева лінія полів виділення германію та моносульфіду германію (лінія між точками  $p_1$  та  $E_2$ ). Наслідком саме такого перитектичного процесу розчинення германію та утворення моносульфіду германію є кристалізація частини сплавів розрізу по евтектичній схемі. В подальшому це викликає появу чотирифазних процесів в точках  $E_2$  та  $E_3$ . Розріз Ag-GeS<sub>2</sub> не є квазібінарним, на що вказує  $T-x$  діаграма стану сплавів в частині 50 ÷ 100 мол. % GeS<sub>2</sub>, приведена на рис. 3. При температурі 868 К, шляхом взаємодії розплаву з кристалами дисульфиду германію утворюється триелементна сполука, склад якої у вигляді Ag<sub>2</sub>Ge<sub>5</sub>S<sub>10</sub> встановлено за побудовою Таммана. На поверхні ліквідусу лініями двофазних виділень між точками  $E_3$ ,  $P_5$ ,  $p_3$ ,  $P_6$  охоплене поле виділення цієї сполуки.

В роботах [4,5] має місце розбіжність по складу області формування скла, пов'язане, ймовірно, з відмінностями в технологічному процесі одержання скла. На рис. 1 зображена область (I), взята нами із роботи [5] з попереднім перерахуванням складів її сплавів з площини концентраційного трикутника Ag<sub>2</sub>S-GeS-GeS<sub>2</sub> на площину концентраційного трикутника Ag-Ge-S. Зазначена область охоплює на проекції поверхні ліквідусу частину межевої лінії  $p_1E_2$ , значну частину ліній двофазних виділень, точки

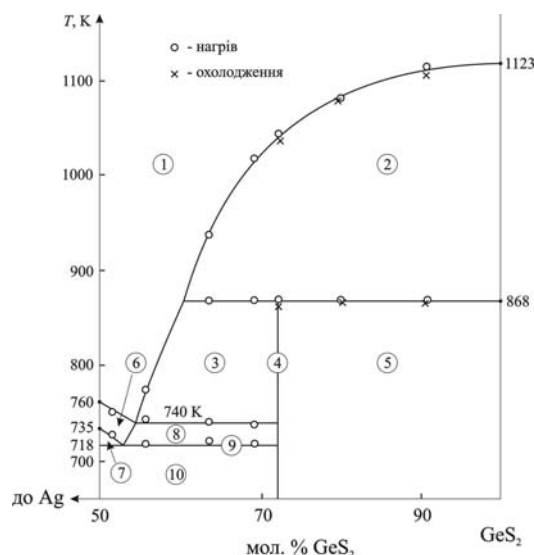
трифазних безваріантних процесів розрізів Ag<sub>2</sub>GeS<sub>3</sub>-Ge, Ag<sub>2</sub>GeS<sub>3</sub>-GeS, чотирифазний безваріантний процес в точці  $P_5$ , а також три точки потрійних евтектик. Склоподібні сплави області (II) з інтервалу концентрацій 0 ÷ 30 мол. % Ag<sub>2</sub>S (~ 0 ÷ 20 ат. % Ag) отримуються лише при швидкостях охолодження розплавів ~ 30 К/с. Структурно-невпорядковані сплави розрізу Ag<sub>2</sub>S-GeS<sub>2</sub> з інтервалу концентрацій 30 ÷ 55 мол. % Ag<sub>2</sub>S (~ 20 ÷ 37 ат. % Ag) отримуються при значно менших швидкостях охолодження. Така особливість може бути пояснена формуванням в цій частині розрізу евтектичних сплавів  $e_2$  та  $e_3$ .

Наведені на рис. 1 області склоутворень (I) та (II) та структурні елементи проекції поверхні ліквідусу на площину концентраційного трикутника системи Ag-Ge-S підтверджують відоме з літератури положення, що переплетення в розплавах структурних одиниць склоформуючої сполуки (в досліджуваній системі це GeS<sub>2</sub>) із структурними одиницями інших сполук (GeS, Ag<sub>10</sub>Ge<sub>3</sub>S<sub>11</sub>, Ag<sub>2</sub>GeS<sub>3</sub>, Ag<sub>2</sub>Ge<sub>5</sub>S<sub>10</sub>) в місцях сумісного їх виділення суттєво підвищує в'язкість розплавів. Це виступає основною причиною формування скла при гартуванні таких розплавів. Інформація, отримана від співставлень положень структурних елементів поверхні ліквідусу з положенням областей формування скла в площині концентраційного трикутника, є важливою при

Таблиця

Зміст безваріантних процесів на поверхні ліквідусу системи Ag-Ge-S в областях формування скла

№ п.п.	Символ	Зміст процесу	Склад, ат. % (±0.5 ат. %)			Т-ра процесу, К
			Ag	Ge	S	
1	$e_1$	$L \leftrightarrow \text{GeS} + \text{GeS}_2$	-	42.5	57.5	870
2	$e_2$	$L \leftrightarrow \text{Ag}_2\text{GeS}_3 + \text{GeS}_2$	26	22	52	900
3	$e_3$	$L \leftrightarrow \text{Ag}_{10}\text{Ge}_3\text{S}_{11} + \text{Ag}_2\text{GeS}_3$	35.5	15.5	49	910
4	$e_4$	$L \leftrightarrow \text{Ag}_2\text{GeS}_3 + \text{Ge}$	29	26	45	755
5	$e_5$	$L \leftrightarrow \text{Ag}_2\text{GeS}_3 + \text{GeS}$	23	27	50	735
6	$p_1$	$L + \text{Ge} \leftrightarrow \text{GeS}$	-	47	53	931
7	$p_2$	$L + \alpha\text{-Ag}_8\text{GeS}_6 \leftrightarrow \text{Ag}_{10}\text{Ge}_3\text{S}_{11}$	39	14	47	1014
8	$p_3$	$L + \text{GeS}_2 \leftrightarrow \text{Ag}_2\text{Ge}_5\text{S}_{10}$	12	29.5	58.5	868
9	$P_4$	$L + \text{Ag} \leftrightarrow \text{Ag}_{10}\text{Ge}_3\text{S}_{11} + \text{Ge}$	36	22	42	845
10	$P_5$	$L + \text{GeS}_2 \leftrightarrow \text{GeS} + \text{Ag}_2\text{Ge}_5\text{S}_{10}$	21	27	52	765
11	$P_6$	$L + \text{GeS}_2 \leftrightarrow \text{Ag}_2\text{GeS}_3 + \text{Ag}_2\text{Ge}_5\text{S}_{10}$	22.5	24.5	53	753
12	$E_1$	$L \leftrightarrow \text{Ag}_{10}\text{Ge}_3\text{S}_{11} + \text{Ag}_2\text{GeS}_3 + \text{Ge}$	33	23	44	737
13	$E_2$	$L \leftrightarrow \text{Ag}_2\text{GeS}_3 + \text{GeS} + \text{Ge}$	26	26.5	47.5	680
14	$E_3$	$L \leftrightarrow \text{Ag}_2\text{GeS}_3 + \text{GeS} + \text{Ag}_2\text{Ge}_5\text{S}_{10}$	22.5	26	51.5	718



**Рис. 3.** Політермічний розріз  $\text{Ag-GeS}_2$  в частині  $\text{Ag}_{0.5}(\text{GeS}_2)_{0.5}\text{-GeS}_2$ .

Позначення:

- 1 – L; 2 – L +  $\text{GeS}_2$ ; 3 – L +  $\text{Ag}_2\text{Ge}_5\text{S}_{10}$ ; 4 –  $\text{Ag}_2\text{Ge}_5\text{S}_{10}$ ; 5 –  $\text{Ag}_2\text{Ge}_5\text{S}_{10}$  +  $\text{GeS}_2$ ; 6 – L +  $\text{Ag}_2\text{GeS}_3$ ; 7 – L +  $\text{Ag}_2\text{GeS}_3$  + GeS; 8 – L +  $\text{Ag}_2\text{GeS}_3$  +  $\text{Ag}_2\text{Ge}_5\text{S}_{10}$ ; 9 – L ↔  $\text{Ag}_2\text{GeS}_3$  +  $\text{Ag}_2\text{Ge}_5\text{S}_{10}$  + GeS; 10 –  $\text{Ag}_2\text{GeS}_3$  +  $\text{Ag}_2\text{Ge}_5\text{S}_{10}$  + GeS.

виборі складу та режимів синтезу скла для

подальших його досліджень, а також для пошукових робіт по визначенню областей формування скла в більш складних системах.

### III. Висновки

Методами фізико-хімічного аналізу досліджено T-x простір системи Ag-Ge-S в областях формування скла. Структурні елементи поверхні ліквідусу, згруповані у трьох точках потрійних евтектик, в проекції на площину концентраційного трикутника системи Ag-Ge-S ділять область склоутворення (I) на три частини. Виходячи з уявлень про відмінність у наборах структурних одиниць розплавів потрійних евтектик прогнозується відмінність фізичних властивостей скла зазначених частин області (I). Встановлено існування сполуки складу  $\text{Ag}_2\text{Ge}_5\text{S}_{10}$ .

**Миколайчик О.Г.** – канд. фіз.-мат. наук, професор кафедри фізики металів;

**Мороз М.В.** – аспірант кафедри фізики металів;

**Орленко В.Ф.** – канд. фіз.-мат. наук, доцент, зав. кафедри фізики;

**Олексин Д.І.** – канд. фіз.-мат. наук, доцент кафедри фізики;

**Мороз В.М.** – канд. фіз.-мат. наук, доцент кафедри фізики.

- [1] T. Kawaguchi, S. Maruno. Optical, electrical and structural properties of amorphous Ag-Ge-S and Ag-Ge-Se films and comparison of photoinduced and thermally induced phenomena of both system // *J. Appl. Phys.*, **79**, pp. 9096-9104 (1996).
- [2] T. Kawaguchi. Photoinduced surface deposition of Ag on Ag-rich Ag-Ge-S films: optimal Ag content and film thickness for applications in optical recording devices // *Appl. Phys. Lett.*, **72**(2), pp. 161-163 (1998).
- [3] M. Kozicki, M. Mitkova. Mass transport in chalcogenide electrolyte films-materials and applications // *J. Non-Cryst. Solids*, **352**(6-7), pp. 567-577 (2006).
- [4] Y. Kawamoto, N. Nagura, S. Tsuchihashi. Properties of Ag-containing sulfide glasses // *J. Amer. Ceram. Soc.*, **56**(5), pp. 289-290 (1973).
- [5] A. Feltz, D. Linke B. Voigt. Chalcogenidglaser als infrarotdurchlassige optische medien // *Zeitschrift fur Chemie*, **20**(3), pp. 81-89 (1980).
- [6] Y. Kawamoto, N. Nagura, S. Tsuchihashi. Dc conductivity of Ge-S-Ag and As-S-Ag glasses // *J. Amer. Ceram. Soc.*, **57**(11), pp. 489-491 (1974).
- [7] Y. Kawamoto, M. Nishida. Ionic conduction in  $\text{As}_2\text{S}_3\text{-Ag}_2\text{S}$ ,  $\text{GeS}_2\text{-GeS-Ag}_2\text{S}$  and  $\text{P}_2\text{S}_5\text{-Ag}_2\text{S}$  glasses // *J. Non-Cryst. Solids*, **20**, pp. 393-404 (1976).
- [8] E. Robinel, B. Carette, M. Ribes. Silver sulfide based glasses (I): glass forming regions structure and ionic conduction of glasses in  $\text{GeS}_2\text{-Ag}_2\text{S}$  and  $\text{GeS}_2\text{-Ag}_2\text{S-AgI}$  systems // *J. Non-Cryst. Solids*, **57**(1) pp. 49-58 (1983).
- [9] F. Salam, Sh. Soulayman, J. Giuntini, J. Zanchetta. Frequency-dependent ionic conductivity in  $(\text{Ag}_2\text{S})_x(\text{GeS}_2)_{1-x}$  glasses // *Solid State Ionics*, **83**(3-4), pp. 235-243 (1996).
- [10] M. Ribes, E. Bychkov A. Pradel. Ion transport in chalcogenide glasses: dynamic and structural studies // *Journal of Optoelectronics and Advanced Materials*, **3**(3), pp. 665-674 (2001).
- [11] A. Ibanez, P. Armand, E. Philippot, H. Dexpert. Structural study of  $\text{GeS}_2\text{-Ag}_2\text{S}$  glassy system by silver K-edge EXAFS experiments made at room and low temperature // *Solid State Ionics*, **59**(1-2), pp. 157-165 (1993).
- [12] J. Lee, A. Owens, A. Pradel et al. Structure determination of Ag-Ge-S glasses using neutron diffraction // *Phys. Rev. B.*, **54**(6), pp. 3895-3909 (1996).
- [13] P. Armand, A. Ibanez, J. Tonnerre et al. Structural characterization of  $\text{Ag}_2\text{GeS}_3$  glass by anomalous wide-angle X-ray scattering // *Phys. Rev. B.*, **56**(17), pp. 10852-10859 (1997).
- [14] L. Cervinka, L. Tichy, J. Bergerova. X-ray analysis the structure of Ge-S-Ag glasses // *J. Non.-Cryst. Solids*, **232-234**, pp. 335-340 (1998).

- [15] G. Saffarini. Experimental studies on Ge–S–Ag glasses // *Physica Status Solidi (A)*, **170**(1), pp. 23-28 (1998).
- [16] L. Cambi, M. Elli. Sui sulfogermanati: argirodite sintetica // *Rend. Sc. fis. mat. e nat.*, **30**, pp. 11-15 (1961).
- [17] O. Gorochov. Les composés  $Ag_8MX_6$  avec  $M = Si, Ge, Sn$  et  $X = S, Se, Te$  // *C. r. Acad. Sci. Ser. C.*, **264**(26), pp. 2153-2155 (1967).
- [18] O. Gorochov. Les composés  $Ag_8MX_6$  ( $M = Si, Ge, Sn$  et  $X = S, Se, Te$ ) // *Bull. Soc. Chim. France*, **6**, pp. 2263-2275 (1968).
- [19] A. Nagel, K.-J. Range. Verbindungsbildung im System  $Ag_2S-GeS_2-AgI$  // *Z. Naturforsch.*, **33b**, pp. 1461-1464 (1978).
- [20] О.П. Кохан. Взаємодія в системах  $Ag_2X-B^{IV}X_2$  ( $B^{IV} - Si, Ge, Sn; X - S, Se$ ) і властивості сполук. Автореф. дис. ... канд. хім. наук. Ужгород. 21 с. (1996).
- [21] G.H. Moh. Experimental and Descriptive Ore Mineralogy. The Ag-Sn-S system. The Ag-Ge-S system // *N. Jb. Miner. Abh.*, **128**(2), pp. 146-152 (1976).
- [22] З.Ю. Салаева, А.А. Мовсун-заде, А.И. Багиров, А.С. Скоропанов. Тройная система  $Ag_2S-GeS_2-S$  // *Изв. АН СССР. Неорган. матер.*, **33**(5), сс. 1262-1267 (1988).
- [23] А.А. Мовсун-Заде, З.Ю. Салаева, М.Р. Аллазов. Тройная система Ag-Ge-S // *Ж. неорган. химии*, **34**(9), сс. 2324-2330 (1989).

О.Г. Mykolajchuk<sup>1</sup>, М.В. Moroz<sup>1</sup>, V.F. Orlenko<sup>2</sup>, D.I. Oleksyn<sup>2</sup>, V.M. Moroz<sup>2</sup>

### **T-x phase Diagram in Glass Formation Regions of the Ag-Ge-S System**

<sup>1</sup> Ivan Franko National University, 8a, Kyryla and Mefodiya Str., L'viv, 79005

<sup>2</sup> National University of Water Management and Nature Resources Use, 11, Soborna Str., Rivne, 33000 E-mail: riv018@i.ua

T-x equilibrium space of alloys of the Ag-Ge-S system in glass formation regions was investigated. The existence of three parts in glass formation region of  $Ag_2S-GeS-GeS_2$  is suggested.